

Лекция 15 по курсу «Основы цифровой обработки сигналов»

9 декабря 2024 г.

Лекция-консультация перед экзаменом/зачетом. Разбор задач.

	ФРКТ	ФАКТ
9 семестр (осенний)	Основы цифровой обработки сигналов (семестровый) 9 семестр — экзамен	Цифровая обработка сигналов (годовой) 9 семестр — зачет
10 семестр (весенний)	Цифровая обработка сигналов (семестровый) 10 семестр — экзамен	10 семестр — экзамен

«Цифровая обработка сигналов» зачет ФАКТ

16 декабря 2023 г. 12:20 аудитория Актовый зал ЛК

Зачет ФАКТ (недифференцированный) состоит из письменной и устной части. Обе части являются обязательными. Устная часть проводится сразу после выполнения письменной работы.

Часть студентов ФАКТ смогут зачесть результат работы в семестре на зачете (если по обеим контрольным работам оценка не ниже хор5).

«Основы цифровой обработки сигналов» экзамен ФРКТ

28 декабря 2024 г. 9:00

аудитория 4.22 УЛК-1 (Физтех.Цифра)

Экзамен ФРКТ состоит из письменной и устной части. Обе части являются обязательными. Устная часть проводится сразу после выполнения письменной работы.

Часть студентов ФРКТ по результатам работы в семестре (список в LMS) смогут сдавать экзамен досрочно *16 декабря 2024 г. в 9:00 в аудитории 4.22 УЛК-1 (Физтех.Цифра)*.

Основы цифровой обработки сигналов, МФТИ, 2024-2025 учебный год

Участие в досрочной сдаче не является обязательным и никак не влияет на оценку.

Письменная часть

Проводится по билетам. Содержание билета:

№1. Теоретический вопрос по программе курса.

№2. Задача по темам первой контрольной работы (блок 1 из программы курса)

№3. Задача по темам второй контрольной работы (блок 2 из программы курса)

При проведении письменной части допускается использование студентами конспектов лекций (в том числе в электронном виде), справочной литературы и вычислительной техники.

Устная часть

Устная часть включает в себя ответы на вопросы экзаменатора по письменной работе и по программе курса. Экзаменатору доступны результаты контрольных работ и решения задач с лекций (тестов в LMS).

Экзамен ФРКТ 28 декабря 2024 г.

Порядок запуска групп на экзамен

9:00	M01-401, M01-402, M01-403, M01-404, инд. план
11:00	M01-405, M01-406, M01-407, C01-919

Теоретические вопросы билетов.

Блок 1. Дискретные преобразование сигналов, интерфейсы ввода и вывода систем ЦОС реального времени

- 1) Эффект наложения спектров при дискретизации аналогового сигнала. 2.5
- 2) Теорема Котельникова во временной области. 2.6
- 3) Оценка спектра сигнала по последовательности его отсчетов, дискретное во времени преобразование Фурье (формулы прямого и обратного преобразования). 2.9
- 4) Связь между ДПФ и ДВПФ для периодических последовательностей. 3.9
- 5) Восстановление ДВПФ по коэффициентам ДПФ. Интерполяция ДВПФ добавлением нулевых отсчетов в сигнал (Zero Padding). 3.6
- 6) Частотная ось ДПФ: связь между номером отсчета ДПФ и частотой в спектре дискретизованного сигнала. 3.15

7) Шум квантования n – разрядного АЦП. Указать относительные уровни шумов квантования (в дБ) для 8-ми, 12-ти и 16-ти разрядного АЦП. 4.11-12

8) Восстановление сигналов по дискретным отсчетам путём интерполяции: ступенчатая интерполяция, восстановление косинусоидального сигнала с помощью ЦАП. 5.10

Блок 2. Основы цифровой фильтрации.

9) Критерий каузальности и условие физической реализуемости для линейной стационарной дискретной системы. 6.9

10) Два критерия устойчивости физически реализуемого цифрового фильтра (основанный на нуль-поллюсной диаграмме и основанный на виде импульсной характеристики). 8.9-10

11) Метод разложения на простые дроби для вычисления обратного z -преобразования. 7.11

12) Метод контурного интегрирования (на основе теоремы Коши о вычетах) для вычисления обратного z -преобразования. 7.12

13) Передаточная функция дискретной линейной стационарной системы, ее связь с импульсной характеристикой, разностным уравнением, амплитудно-частотной и фазочастотной характеристиками. 8.7

14) Прямая форма (Direct form I) реализации цифровых фильтров. 9.1.3

15) Прямая каноническая форма (Direct form II) реализации цифровых фильтров. 9.1.4-5

16) КИХ-фильтры с линейной фазовой характеристикой. 11.3-12

17) КИХ фильтры: общий вид передаточной функции и разностного уравнения, нерекурсивный способ реализации, устойчивость. 11.13-14

18) Биквадратный блок. 9.1.13-15

19) Нерекурсивный фильтр 1-го порядка: передаточная функция, разностное уравнение, АЧХ, ФЧХ, импульсная и переходная характеристики. 10.2-7

20) Нерекурсивный фильтр 2-го порядка: передаточная функция, разностное уравнение, АЧХ, ФЧХ, импульсная и переходная характеристики. 10.8-10

21) Реализация цифровых фильтров путем параллельного соединения блоков 1-ого и 2-ого порядка. 9.7.11-12

22) Синтез БИХ-фильтров методом инвариантной импульсной характеристики. 9.2.7-14

23) Синтез БИХ-фильтров методом билинейного z -преобразования. 9.2.15-20

24) Реализация цифровых фильтров в виде каскадного соединения блоков первого и второго порядка.

9.7.9-10

Примеры дополнительных вопросов

Ниже приведены примеры основных вопросов по программе курса.

- В чем заключается эффект наложения спектров при дискретизации аналоговых сигналов?
- К чему приводит эффект растекания спектральных компонент и чем он вызван?
- Какой период (по частоте) у спектра дискретизованного сигнала?
- Приведите определение для частоты дискретизации f_d и частоты Найквиста ($f_d / 2$).
- Сформулируйте теорему Котельникова для сигнала с финитным спектром.
- Запишите формулы анализа и синтеза для преобразования Фурье, ДПФ, ДВПФ, z-преобразования. Укажите, в каком пространстве находится аргумент функций, получающихся при анализе и при синтезе (целые числа, действительные числа, комплексные числа).
- Сформулируйте, в чем заключается связь между ДПФ и ДВПФ для случая
 - последовательности конечной длительности;
 - периодической последовательности.
- Чему равно разрешение по частоте при вычислении ДПФ? Как можно улучшить это разрешение без изменения спектра (ДВПФ) последовательности отсчетов. f_d / N
- Определите следующие характеристики дискретной линейной стационарной системы:
 - импульсная характеристика $h[k]$,
 - передаточная функция $H(z)$,
 - переходная характеристика $g[k]$,
 - комплексная частотная характеристика $H(\theta)$, АЧХ $|H(\theta)|$ и ФЧХ $\varphi(\theta)$.
- Запишите два критерия устойчивости по входу дискретной линейной стационарной системы. 6.10
- Определите понятие каузальности дискретной линейной стационарной системы.

- Как каузальность дискретной линейной стационарной системы связана с ее физической реализуемостью в реальном времени?
- Как по импульсной характеристике дискретной линейной стационарной системы определить, является ли система каузальной?
- Укажите основные отличия БИХ и КИХ фильтров (вид импульсной характеристики, устойчивость, линейность ФЧХ, возможность нерекурсивной реализации). ||.2

- Для фильтра с разностным уравнением

$$y[k] = x[k] + x[k - 1]$$

найти и изобразить импульсную характеристику, АЧХ и ФЧХ.

- Для фильтра с разностным уравнением

$$y[k] = x[k] - x[k - 1]$$

найти и изобразить импульсную характеристику, АЧХ и ФЧХ.

Основная литература

1. Романюк Ю.А. Основы цифровой обработки сигналов. Учебное пособие. Часть 1. Москва. 2007г.
2. Романюк Ю.А. Дискретное преобразование Фурье в цифровом спектральном анализе. Уч. пособие. Москва, 2007г.

Дополнительная литература

3. Солонина А.И. Цифровая обработка сигналов в зеркале MATLAB: учеб. пособие. — СПб.: БХВ-Петербург, 2021. — 560 с.: ил.
4. Васильев, В. П. Основы теории и расчета цифровых фильтров : учебное пособие / В. П. Васильев, Э. Л. Муро, С. М. Смольский ; под ред. С. М. Смольского .— 2-е изд., стереотип. — Москва : ИНФРА-М, 2020
5. Сергиенко А.Б. Цифровая обработка сигналов. — СПб.: Питер, 2013 г.
6. Цифровая обработка сигналов / А. Оппенгейм, Р. Шафер; пер. с англ. под ред. С. Ф. Боева .— 3-е изд., испр. — М. : Техносфера, 2019 .— 1048 с.

Разбор контрольной работы №2

Разбор некоторых задач контрольной работы №2.

1. Применение критерия устойчивости цифрового фильтра.

Критерий устойчивости LTI системы. Для того, чтобы LTI система была устойчивой необходимо и достаточно, чтобы ее импульсная характеристика была абсолютно суммируемой: $\sum_k |h[k]| < \infty$.

В лекции рассматривался пример цифрового фильтра с импульсной характеристикой.

$$h[k] = 2 \cdot \mathbf{1}[k] - 9 \cdot 0,5^k u[k] + 8u[k].$$

Поскольку

$$\lim_{k \rightarrow +\infty} h[k] = \lim_{k \rightarrow +\infty} \left(8 - \frac{9}{2^k} \right) = 8,$$

импульсная характеристика не является абсолютно суммируемой:

$$\sum_{k=0}^{\infty} |h[k]| = \infty.$$

Система неустойчива.

При этом если

$$\lim_{k \rightarrow +\infty} h[k] = 0,$$

нельзя утверждать, что импульсная характеристика абсолютно суммируема.

Контрпример. Пусть функция $h[k]$ описывает элементы гармонического ряда:

$$h[k] = \frac{1}{k} u[k].$$

Гармонический ряд расходится.

Однако утверждать, что последовательность, описываемая функцией

$$h[k] = a^k u[k]$$

при $|a| < 1$ является абсолютно суммируемой корректно: последовательность в этом случае описывает элементы бесконечно убывающей геометрической прогрессии.

2. Применение таблицы соответствий при вычислении импульсной характеристики рекурсивного фильтра второго порядка.

Вычисление обратного z–преобразования с использованием таблицы соответствий		
	тестовая последовательность	z-образ
	$x[k] = r^k \frac{\sin(k+1)\theta_0}{\sin \theta_0} u[k]$	$X(z) = \frac{1}{1 + a_1 z^{-1} + a_2 z^{-2}},$ $a_1 = -2r \cos \theta_0, a_2 = r^2$

Как и указано в таблице, воспользоваться данным соответствием можно лишь в случае, когда существуют действительные r и θ_0 , такие, что $a_1 = -2r \cos \theta_0, a_2 = r^2$.

Предположим, что $X(z)$ имеет полюсы z_{p1} и z_{p2} , и допустимо представление этой функции в виде

$$X(z) = \frac{1}{(1 - z_{p1} z^{-1})(1 - z_{p2} z^{-1})}.$$

$$X(z) = \frac{1}{1 - (z_{p1} + z_{p2})z^{-1} + z_{p1}z_{p2}z^{-2}}.$$

Если полюса комплексно-сопряженные, то их можно представить в виде

$$z_{p1} = r e^{j\theta_0}, z_{p2} = r e^{-j\theta_0}.$$

Тогда

$$\begin{aligned} -(z_{p1} + z_{p2}) &= -r e^{j\theta_0} - r e^{-j\theta_0} = -2r \cos \theta_0, \\ z_{p1} z_{p2} &= r^2. \end{aligned}$$

Тогда для вычисления обратного z-преобразования можно воспользоваться данным соответствием.

Для полюса второй кратности формула верная лишь в пределе в силу $\theta_0 = 0$.

Когда данным соответствием воспользоваться нельзя, то следует использовать другие способы вычисления обратного z-преобразования, пример, разложение на простые дроби или контурное интегрирование.

3. Фазовая и групповая задержки у КИХ-фильтра высокого порядка.

Предположим, что цифровой фильтр имеет передаточную функцию вида

$$H(z) = 1 + 3z^{-1} + 3z^{-3} + z^{-4}.$$

Определить фазовую задержку и групповую задержку фильтра как функции частоты. Являются ли эти функции одинаковыми по всем частотам?

Простое решение.

$$H(z) = \sum_{k=0}^{\infty} h[k]z^{-k}.$$

<i>k</i>	0	1	2	3	4	другие
<i>h[k]</i>	1	3	0	3	1	0

Импульсная характеристика цифрового фильтра является симметричной относительно $k = 2 = \frac{N-1}{2}$, $N = 5$. Тогда это КИХ-фильтр с 1 типа с кусочно-линейной ФЧХ. Для таких фильтров частотная характеристика

$$H(e^{j\theta}) = \exp\left(-j\theta \frac{N-1}{2}\right) B(e^{j\theta}),$$

$$B(e^{j\theta}) = h\left[\frac{N-1}{2}\right] + \sum_{k=0}^{(N-3)/2} 2h[k] \cos\left(\theta\left(\frac{N-1}{2} - k\right)\right).$$

АЧХ фильтра $A(\theta) = |B(e^{j\theta})|$. ФЧХ фильтра с точностью до скачков фазы на π определяется выражением

$$\varphi(\theta) = -\theta \frac{N-1}{2} + \pi m = -\theta \alpha + \pi m,$$

где $m \in \mathbb{Z}$ зависит от θ : точками скачков фазы являются такие значения переменной θ , в которых $B(e^{j\theta})$ меняет знак.

Групповая задержка такого фильтра будет постоянной на всем интервале $\theta \in [-\pi; \pi]$ и равна

$$\tau_{\text{гр}}(\theta) = -\frac{d\varphi(\theta)}{d\theta} \Delta t = \frac{N-1}{2} \Delta t = 2\Delta t.$$

Фазовая задержка

$$\tau_{\text{ф}}(\theta) = -\frac{\varphi(\theta)}{\theta} \Delta t = \frac{N-1}{2} \Delta t + m\pi \Delta t = 2\Delta t + m\pi \Delta t.$$

постоянна для тех частот, где фазовая характеристика определяется при $m = 0$.

Разбор контрольной работы №2

Неполное решение.

Частотная характеристика получается постановкой

$z = \exp(j\theta)$ в передаточную функцию системы

$$H(z) = 1 + 3z^{-1} + 3z^{-3} + z^{-4} :$$

$$H(e^{j\theta}) = 1 + 3e^{-j\theta} + 3e^{-3j\theta} + e^{-4j\theta}.$$

ФЧХ фильтра

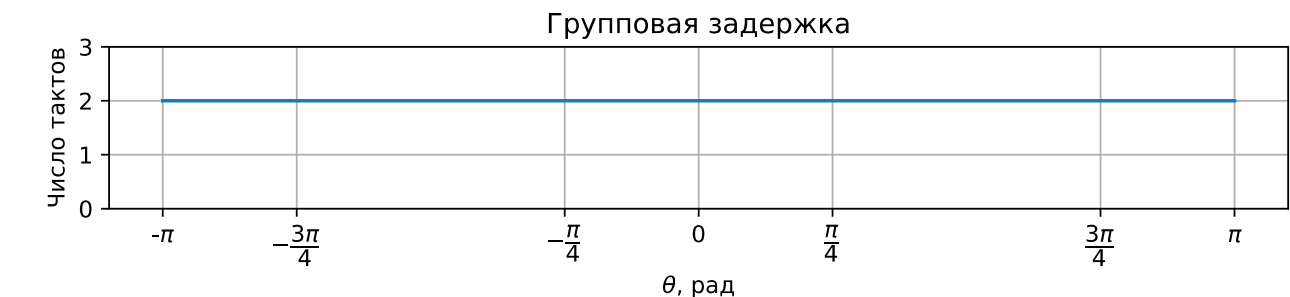
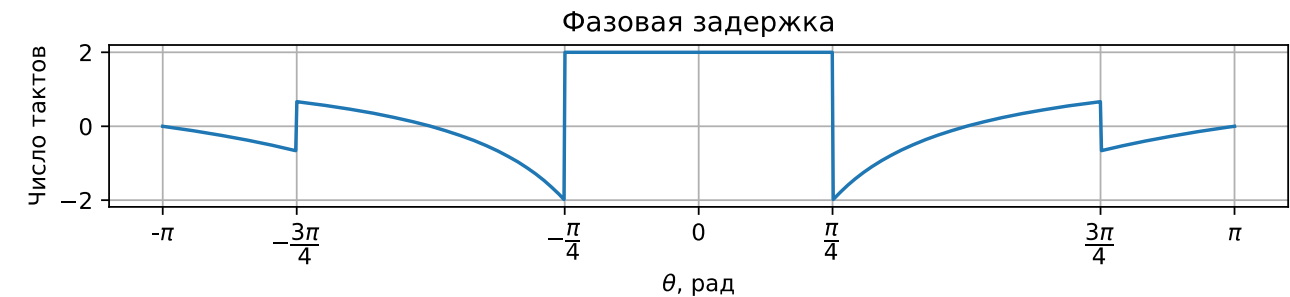
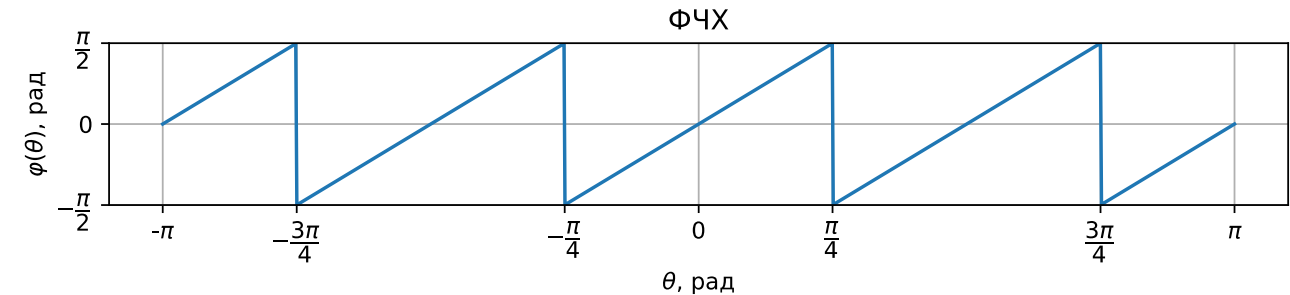
$$\varphi(\theta) = -\operatorname{arctg} \frac{\operatorname{Im} H(e^{j\theta})}{\operatorname{Re} H(e^{j\theta})} = \operatorname{arctg} \frac{3\sin(\theta) + 3\sin(3\theta) + \sin(4\theta)}{1 + 3\cos(\theta) + 3\cos(3\theta) + \cos(4\theta)}.$$

Групповая задержка такого фильтра будет постоянной на всем интервале $\theta \in [-\pi; \pi]$ и равна

$$\tau_{\text{гр}}(\theta) = -\frac{d\varphi(\theta)}{d\theta} \Delta t = \dots$$

Фазовая задержка

$$\tau_{\text{ф}}(\theta) = -\frac{\varphi(\theta)}{\theta} \Delta t = -\frac{\Delta t}{\theta} \operatorname{arctg} \frac{3\sin(\theta) + 3\sin(3\theta) + \sin(4\theta)}{1 + 3\cos(\theta) + 3\cos(3\theta) + \cos(4\theta)}.$$



$$\varphi(\theta) = -\theta \frac{N-1}{2} + \pi m = -\theta \alpha + \pi m.$$

Разбор контрольной работы №2

4. Биквадратный блок.

Передаточная функция

$$H(z) = \frac{\beta_0 + \beta_1 z^{-1} + \beta_2 z^{-2}}{1 + \alpha_1 z^{-1} + \alpha_2 z^{-2}} = \frac{Y(z)}{X(z)}.$$

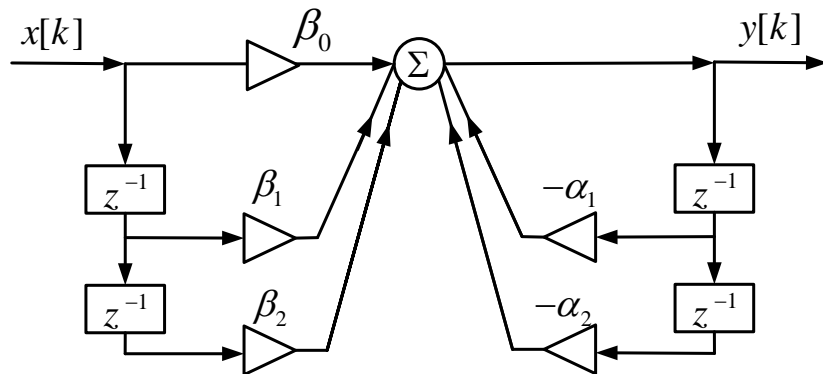
$$\begin{aligned} \beta_0 X(z) + \beta_1 X(z)z^{-1} + \beta_2 X(z)z^{-2} &= \\ &= Y(z) + \alpha_1 Y(z)z^{-1} + \alpha_2 Y(z)z^{-2} \end{aligned}$$

Разностное уравнение

$$\beta_0 x[k] + \beta_1 x[k-1] + \beta_2 x[k-2] = y[k] + \alpha_1 y[k-1] + \alpha_2 y[k-2]$$

$$y[k] = \beta_0 x[k] + \beta_1 x[k-1] + \beta_2 x[k-2] - \alpha_1 y[k-1] - \alpha_2 y[k-2]$$

Блок-схема реализации в прямой форме.



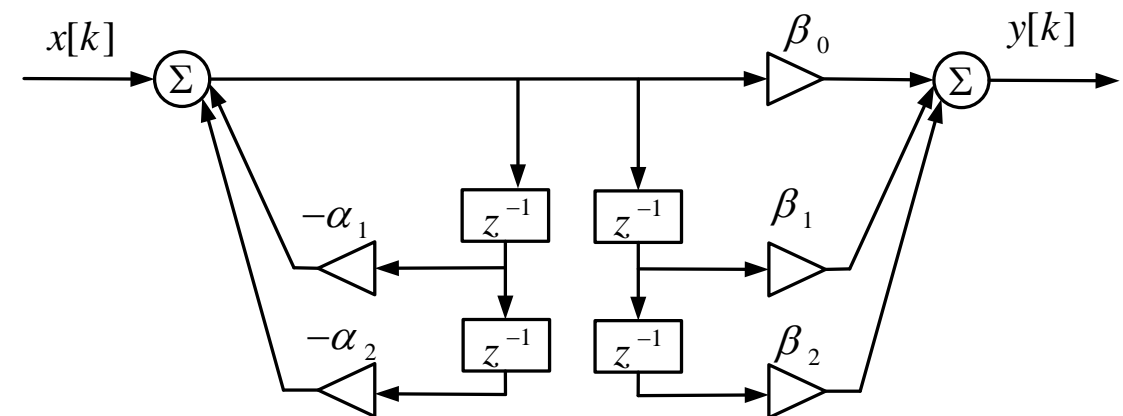
Первые отсчеты импульсной характеристики

$$h[0] = \beta_0, \quad h[1] = \beta_1 - \alpha_1 h[0].$$

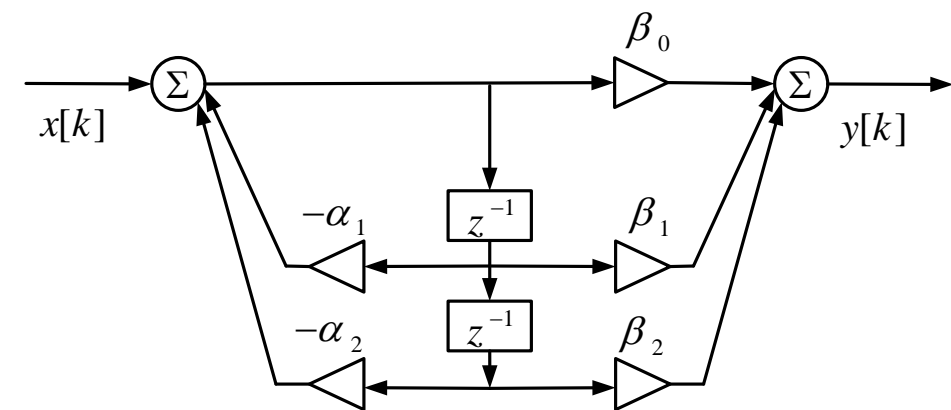
Первые отсчеты переходной характеристики

$$g[0] = \beta_0 = h[0], \quad g[1] = \beta_0 + \beta_1 - \alpha_1 h[0] = h[0] + h[1].$$

Сократим число блоков задержки: переставим местами рекурсивную и нерекурсивную части фильтра.



Объединяя линии задержки в одну, получаем прямую каноническую форму реализации.



Разбор контрольной работы №2

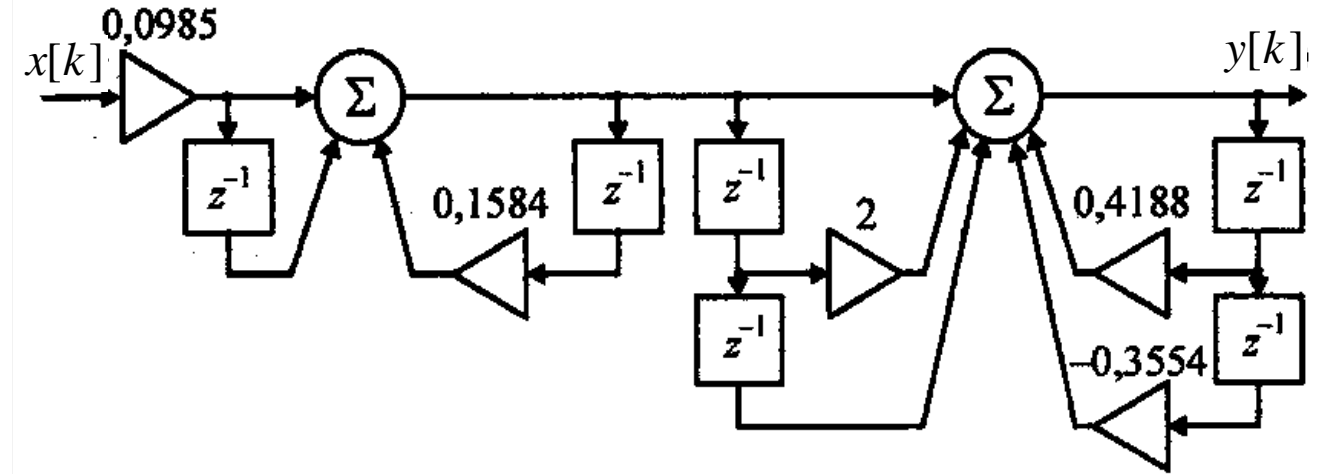
5. Умножители.

- а) Если коэффициент умножителя равен 0, то это означает отсутствие шины данных.
- б) Умножители на 1 не требуются, т.к. не изменяют сигнал.
- в) Выносом множителя за скобки в некоторых случаях можно сократить число умножителей. При этом меняются коэффициенты умножителей в нерекурсивной части одного из следующих каскадов.

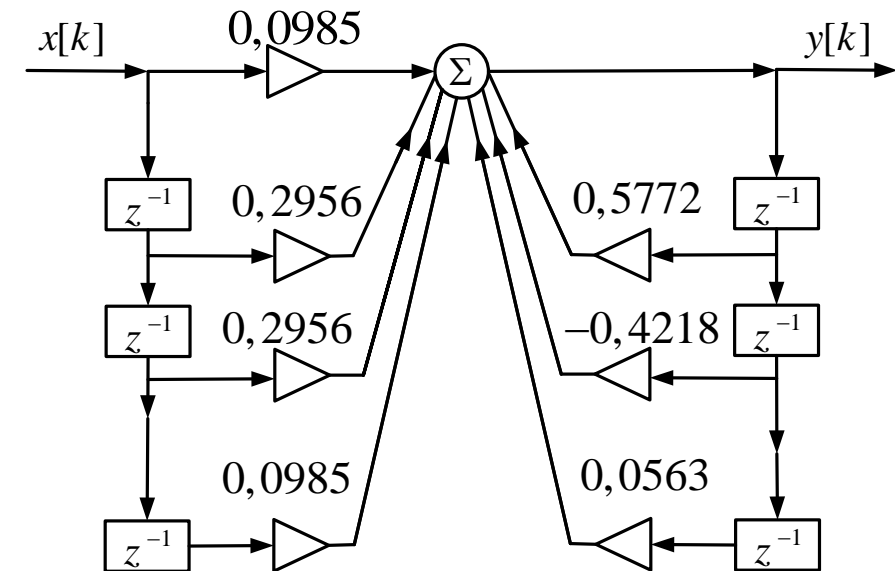
Рассмотрим фильтр Баттерворта нижних частот 3-го порядка с частотой среза, равной 1/5 частоты дискретизации.

$$\begin{aligned} H(z) &= \frac{0,0985 + 0,2956z^{-1} + 0,2956z^{-2} + 0,0985z^{-3}}{1 - 0,5772z^{-1} + 0,4218z^{-2} - 0,0563z^{-3}} = \\ &= \frac{0,0985 + 0,0985z^{-1}}{1 - 0,1584z^{-1}} \cdot \frac{1 + 2z^{-1} + z^{-2}}{1 - 0,4188z^{-1} + 0,3554z^{-2}} = \\ &= 0,0985 \frac{1 + z^{-1}}{1 - 0,1584z^{-1}} \cdot \frac{1 + 2z^{-1} + z^{-2}}{1 - 0,4188z^{-1} + 0,3554z^{-2}}. \end{aligned}$$

Блок-схема последовательной реализации фильтра.



Блок-схема последовательной реализации фильтра в прямой форме



Разбор контрольной работы №2

6. Фильтр Золотарёва—Кауэра.

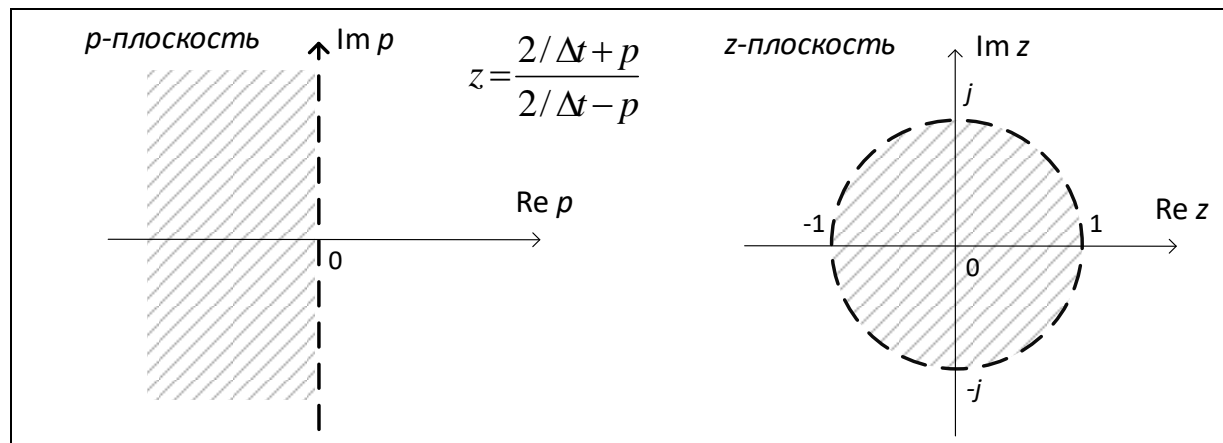
Предположим, что с применением метода билинейного z - преобразования на основе аналогового фильтра нижних частот Золотарёва—Кауэра получен цифровой фильтр с передаточной функцией

$$H(z) = \frac{0,4758 + 0,9160z^{-1} + 0,4758z^{-2}}{1 + 0,8442z^{-1} + 0,3347z^{-2}} \cdot \frac{1 + 1,7074z^{-1} + z^{-2}}{1 + 1,4608z^{-1} + 0,8841z^{-2}}.$$

Известно, что аналоговый фильтр был устойчивым.

Исследовать цифровой фильтр на устойчивость.

Простое решение.



- Если аналоговый фильтр устойчив, то все его полюса лежат в левой полуплоскости.
- Левая полуплоскость при билинейном z -преобразовании отображается во внутрь единичного круга.
- Таким образом, в методе билинейного z -преобразования гарантируется устойчивость БИХ-фильтра при устойчивом аналоговом фильтре-прототипе.

Другое решение.

Решив два квадратных уравнения, можно найти полюса цифрового фильтра.

$$z_{p1} \approx -0,422 + 0,396j$$

$$z_{p2} \approx -0,422 - 0,396j$$

$$z_{p3} \approx -0,730 + 0,592j$$

$$z_{p4} \approx -0,730 - 0,592j$$

Полюса лежат внутри единичной окружности, значит цифровой фильтр устойчив.

При подготовке к экзамену рекомендуется.

- Повторить материалы всех лекций и свои решения задач с лекций.
- Продумать ответы на теоретические вопросы билетов (приведены в этой презентации).
- Разобрать примеры дополнительных вопросов, выучить необходимые формулы и формулировки (определений, утверждений, теорем, критериев).
- Подробно рассмотреть примеры решения задач, приведенные в лекциях, а также в конце этой презентации.

В 10 семестре также будут курсы «Цифровая обработка сигналов» и «Лаборатория цифровой обработки сигналов». На лекциях будут рассматриваться вопросы, связанные с цифровым спектральным анализом, передискретизацией и дискретизацией полосовых сигналов.

Уважаемые студенты 5 курса ФРКТ и ФАКТ!

Просьба отправить отзыв о курсе с помощью формы

<https://docs.google.com/forms/d/e/1FAIpQLSdwElbGEgvGPcze6zmtrMn-7s56a1soo0K0paaDjDmVjWqtNA/viewform>

Отзыв нужно предоставить в текстовом виде. Отзыв можно отправить анонимно и неограниченное число раз.

Дополнительные примеры решения задач

Дополнительные примеры решения задач.

Пример 1.

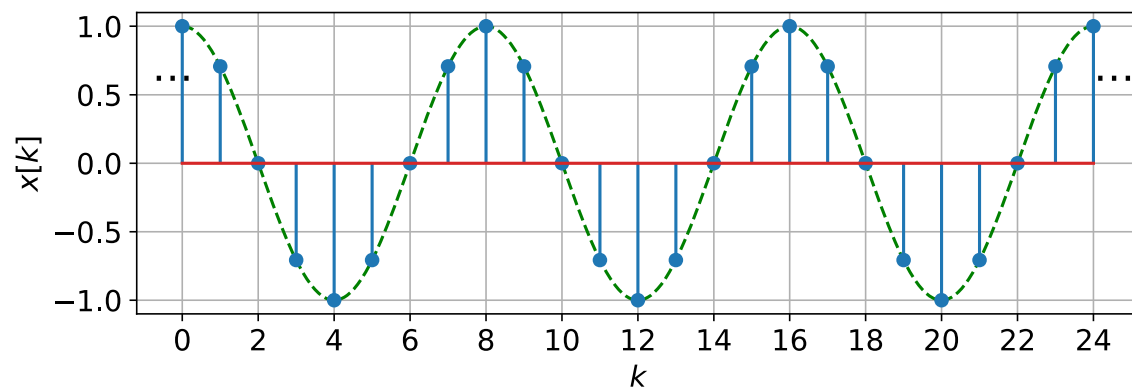
Гармонический сигнал $x(t) = \cos 2\pi f_0 t$ дискретизируется так, что на периоде $[0; 1/f_0)$ образуется 8 отсчетов $x[k] = x(k\Delta t)$.

а) Изобразить последовательность $x[k]$ и ее спектр.

б) Найти и изобразить по модулю ДВПФ и ДПФ последовательности

$$y[k] = \sum_{m=0}^{15} x[m] \mathbf{1}[k - m].$$

Решение.



а) $x[k] = x(k\Delta t) = \cos(2\pi f_0 k\Delta t) = \cos(2\pi \nu_0 k)$, где $\nu_0 = f_0 \Delta t = f_0 / f_d$ — частота косинусоиды, нормированная на частоту дискретизации (доли частоты дискретизации).

Период косинусоиды $x(t)$ равен $T_0 = 1/f_0$, а значит $\nu_0 = 1/8$ и шаг дискретизации

$$\Delta t = T_0 / 8 = \frac{1}{8f_0}.$$

Найдем спектр дискретизованной синусоиды $x[k] = \cos(2\pi \nu_0 k)$. По свойствам ДВПФ

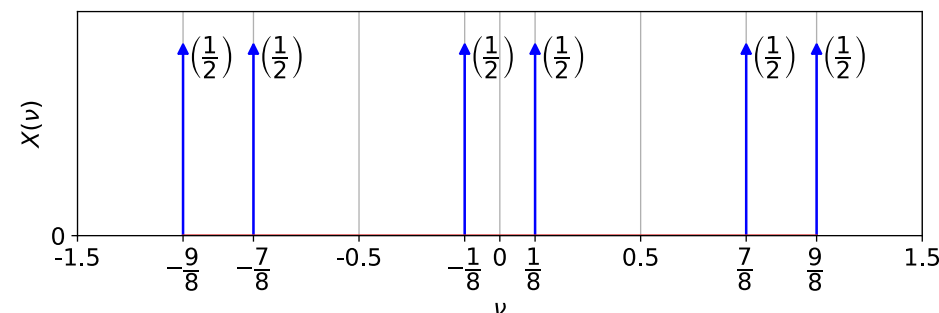
$$\exp(j2\pi \nu_0 k), -\infty < k < +\infty \xleftrightarrow{DTFT} \sum_{n=-\infty}^{\infty} \delta(\nu - \nu_0 - n).$$

Из формулы Эйлера следует, что

$$\cos(2\pi \nu_0 k) = \frac{1}{2} \exp(-2\pi \nu_0 k) + \frac{1}{2} \exp(2\pi \nu_0 k).$$

Получаем, что спектр дискретизованной косинусоиды — две дельта-функции (с весом $1/2$) в точках $\pm \nu_0$, повторяющиеся с периодом 1:

$$\cos(2\pi \nu_0 k) \xleftrightarrow{DTFT} \frac{1}{2} \sum_{n=-\infty}^{\infty} \delta(\nu - \nu_0 - n) + \frac{1}{2} \sum_{n=-\infty}^{\infty} \delta(\nu + \nu_0 - n).$$



Дополнительные примеры решения задач

б) Заметим, что

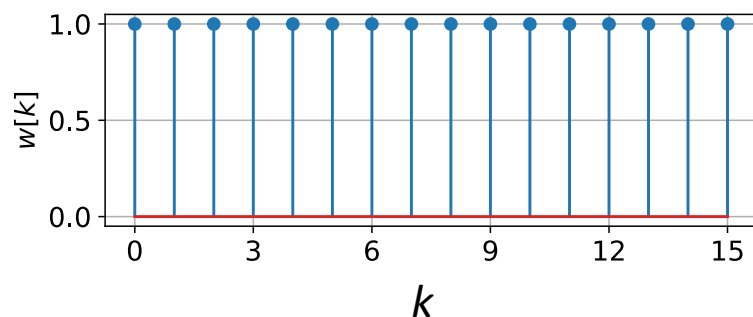
$$y[k] = \sum_{m=0}^{15} x[m] \mathbf{1}[k-m] = x[k] \sum_{m=0}^{15} \mathbf{1}[k-m].$$

Это означает, что $y[k]$ получается перемножением последовательности $x[k]$ на прямоугольное окно длиной в 16 отсчетов:

$$w[k] = \sum_{m=0}^{15} \mathbf{1}[k-m].$$

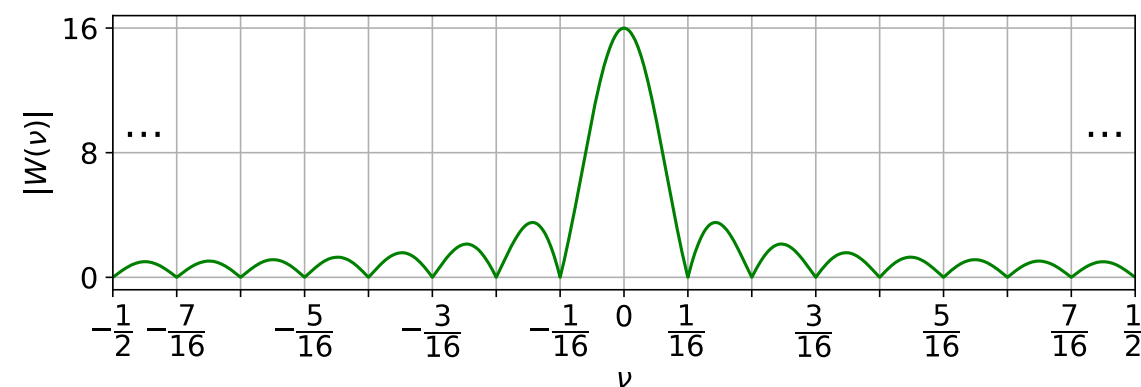
В итоге последовательность $y[k]$ представляет собой отрезок из двух периодов косинусоиды.

Найдем спектр оконной функции $w[k] = \sum_{m=0}^{15} \mathbf{1}[k-m]$.



$$\begin{aligned} W(\nu) &= \sum_{k=-\infty}^{\infty} w[k] \exp(-j2\pi\nu k) = \sum_{k=0}^{N-1} \exp(-j2\pi\nu k) = \\ &= \frac{1 - \exp(-j2\pi\nu N)}{1 - \exp(-j2\pi\nu)} = \\ &= \frac{e^{-j\pi\nu N}}{e^{-j\pi\nu}} \frac{(e^{j\pi\nu N} - e^{-j\pi\nu N})}{(e^{j\pi\nu} - e^{-j\pi\nu})} = \frac{\sin(N\pi\nu)}{\sin(\pi\nu)} \exp(-j(N-1)\pi\nu), \text{ где } N=16. \end{aligned}$$

Модуль ДВПФ этой последовательности изображен на рисунке ниже.



Дополнительные примеры решения задач

Заметим, что

$$y[k] = \cos(2\pi\nu_0 k)w[k] = \frac{1}{2}\exp(-2\pi\nu_0 k)w[k] + \frac{1}{2}\exp(2\pi\nu_0 k)w[k].$$

Тогда, используя теорему смещения, получаем ДВПФ $y[k]$

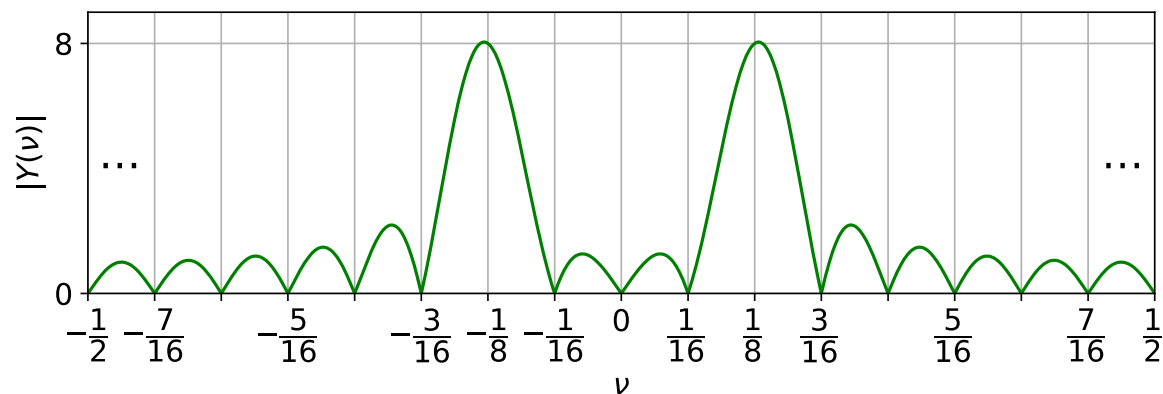
$$Y(\nu) = \frac{1}{2}W(\nu - \nu_0) + \frac{1}{2}W(\nu + \nu_0)$$

$$Y(\nu) = \frac{1}{2} \frac{\sin(N\pi(\nu - \nu_0))}{\sin(\pi(\nu - \nu_0))} \exp(-j(N-1)\pi(\nu - \nu_0)) +$$

$$+ \frac{1}{2} \frac{\sin(N\pi(\nu + \nu_0))}{\sin(\pi(\nu + \nu_0))} \exp(-j(N-1)\pi(\nu + \nu_0)),$$

$$Y(\nu) = \frac{1}{2} \frac{\sin(N\pi(\nu - 1/8))}{\sin(\pi(\nu - 1/8))} \exp(-j(N-1)\pi(\nu - 1/8)) +$$

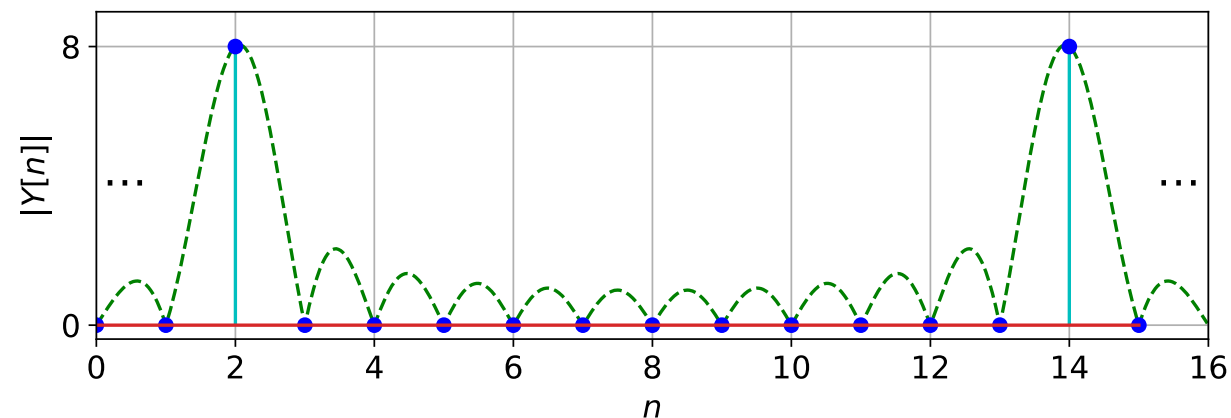
$$+ \frac{1}{2} \frac{\sin(N\pi(\nu + 1/8))}{\sin(\pi(\nu + 1/8))} \exp(-j(N-1)\pi(\nu + 1/8)),$$



Коэффициенты ДПФ последовательности $y[k]$ можно получить, используя связь между ДПФ и ДВПФ

$$Y\left(\nu = \frac{n}{N}\right) = Y[n].$$

Тогда на одном периоде все коэффициенты ДПФ будут равны нулю, кроме $X[2]=8$ и $X[14]=8$, которым соответствуют значения ДВПФ на частотах $\nu = 1/8$ и $\nu = 7/8$.



Дополнительные примеры решения задач

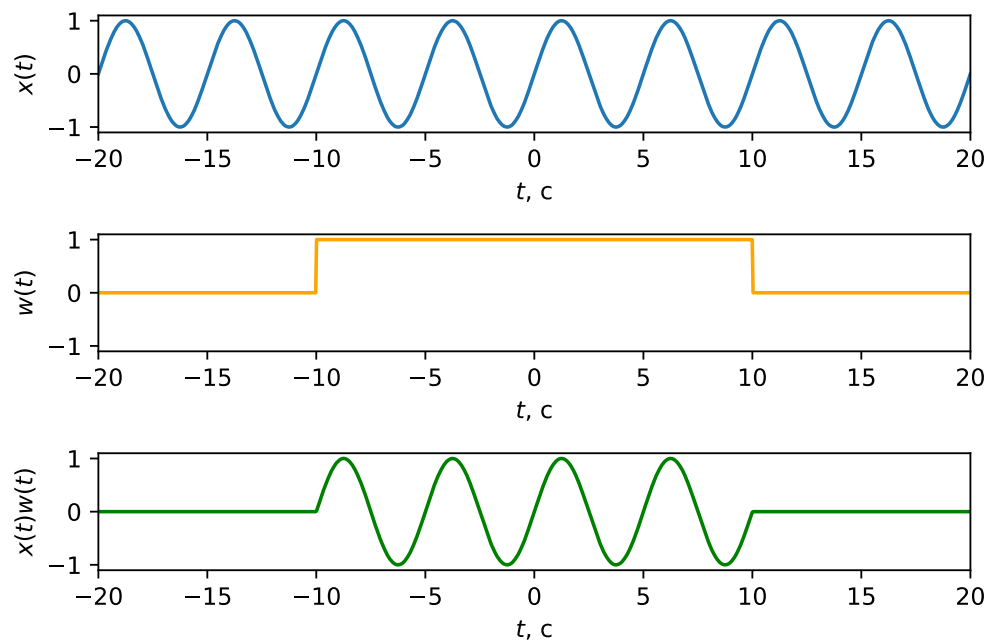
Пример 2.

Эффект растекания спектральных компонент при ограничении длительности сигнала

Гармонический сигнал $x(t)$ имеет вид

$$x(t) = \cos(2\pi f_1 t) + 3\cos(2\pi f_2 t)$$

где $f_1 = 100$ Гц, $f_2 = 200$ Гц. Определить, какой вид будет иметь спектр сигнал $x(t)w(t)$, где $w(t)$ — некоторая оконная функция со спектром $W(f)$.



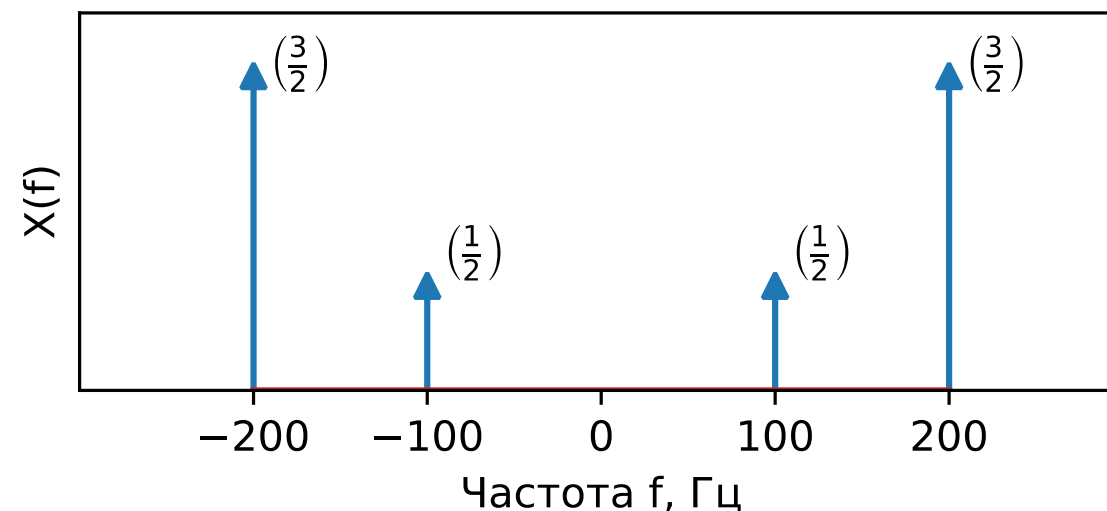
Решение

По свойствам преобразования Фурье

$$\cos(2\pi f_0 t) \overset{FT}{\leftrightarrow} \frac{1}{2}\delta(f - f_0) + \frac{1}{2}\delta(f + f_0).$$

Тогда по свойству линейности преобразования Фурье

$$X(f) = \frac{1}{2}\delta(f - f_1) + \frac{1}{2}\delta(f + f_1) + \frac{3}{2}\delta(f - f_2) + \frac{3}{2}\delta(f + f_2)$$



Ограничение сигнала по длительности эквивалентно умножению на прямоугольную оконную функцию:

$$y(t) = w(t)x(t).$$

Дополнительные примеры решения задач

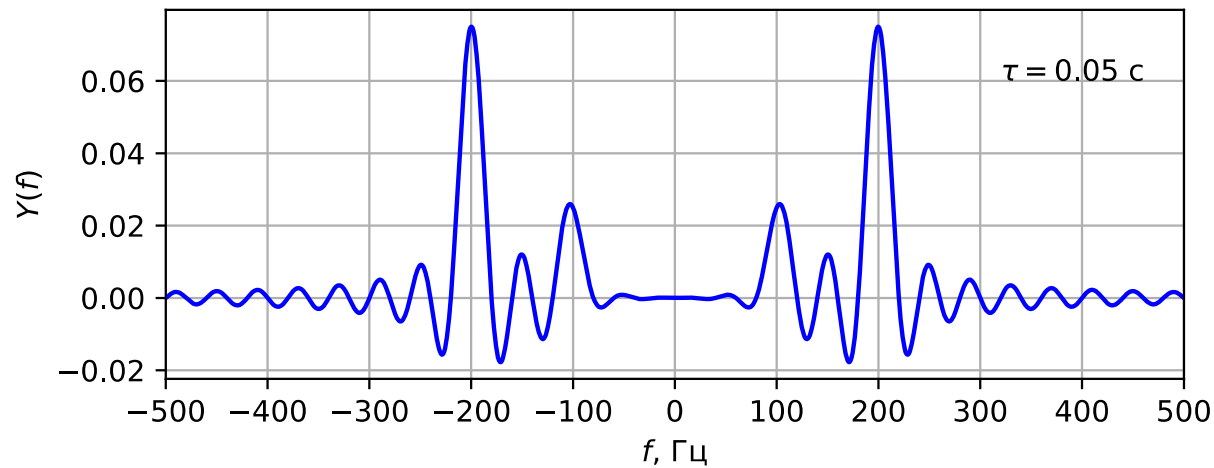
$$y(t) = w(t)x(t).$$

Пусть $x(t) \xleftrightarrow{FT} X(f)$, $w(t) \xleftrightarrow{FT} W(f)$, $y(t) \xleftrightarrow{FT} Y(f)$. Тогда по теореме о свертке для преобразования Фурье

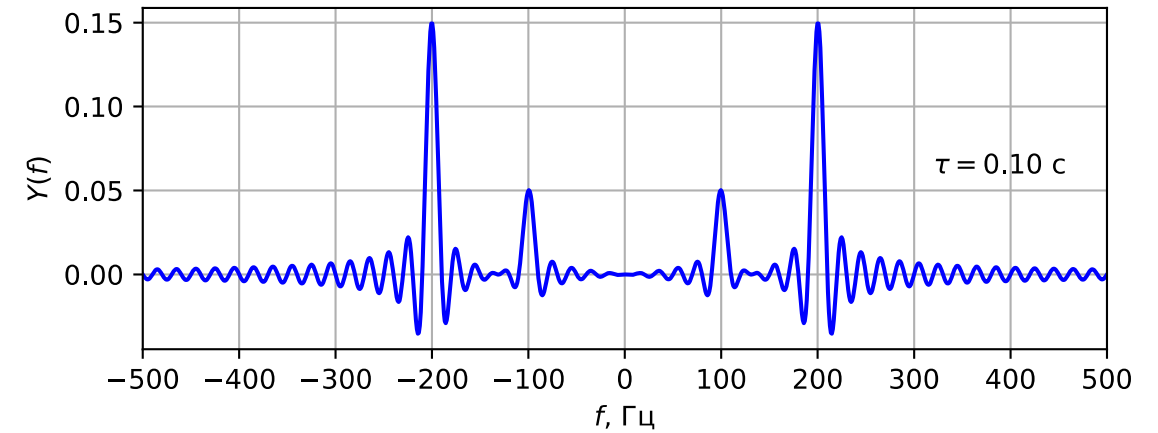
$$w(t)x(t) \xleftrightarrow{FT} \int_{-\infty}^{\infty} W(\tilde{f})X(f - \tilde{f})d\tilde{f}.$$

$$Y(f) = \frac{1}{2}W(f - f_1) + \frac{1}{2}W(f + f_1) + \frac{3}{2}W(f - f_2) + \frac{3}{2}W(f + f_2).$$

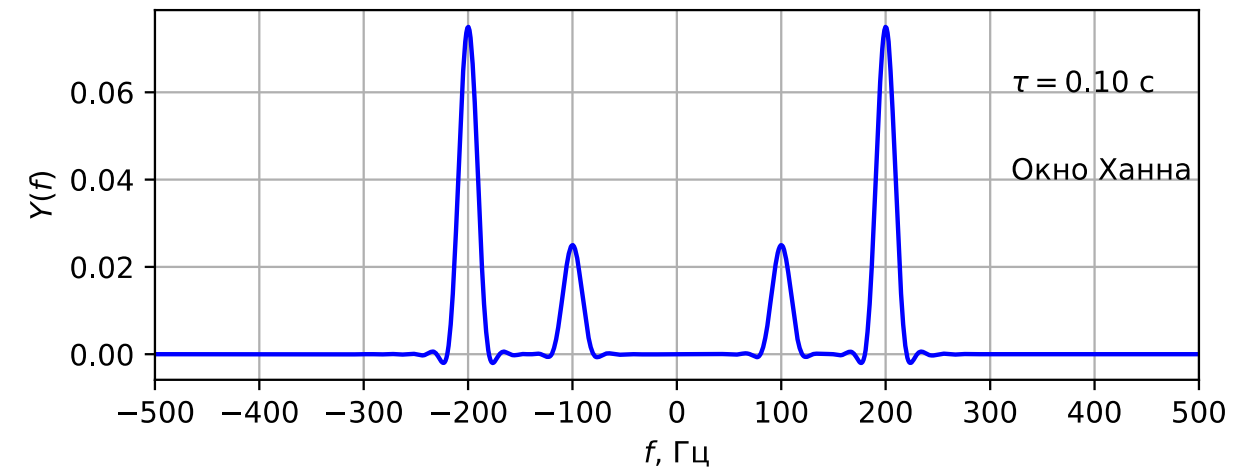
$w(t)$ - прямоугольное окно длиной $\tau = 0,05$ с.



$w(t)$ - прямоугольное окно длиной $\tau = 0,1$ с.



$w(t)$ - окно Ханна длиной $\tau = 0,1$ с.



Дополнительные примеры решения задач

Пример 3. Частотная ось ДПФ.

Рассмотрим для $f_0 = 5$ Гц сигнал длительностью 1 с вида

$$x_a(t) = \sin(2\pi f_0 t), \quad 0 \leq t < 1.$$

Выберем частоту дискретизации $f_d = 20$ Гц ($\Delta t = 0,05$ с).

Каким частотам в спектре аналогового сигнала будут соответствовать коэффициенты ДПФ $n_1 = 8$ и $n_2 = 20$?

Решение. Последовательность отсчетов дискретизованного сигнала

$$x[k] = x_a(k\Delta t) = \sin\left(2\pi \frac{f_0}{f_d} k\right).$$

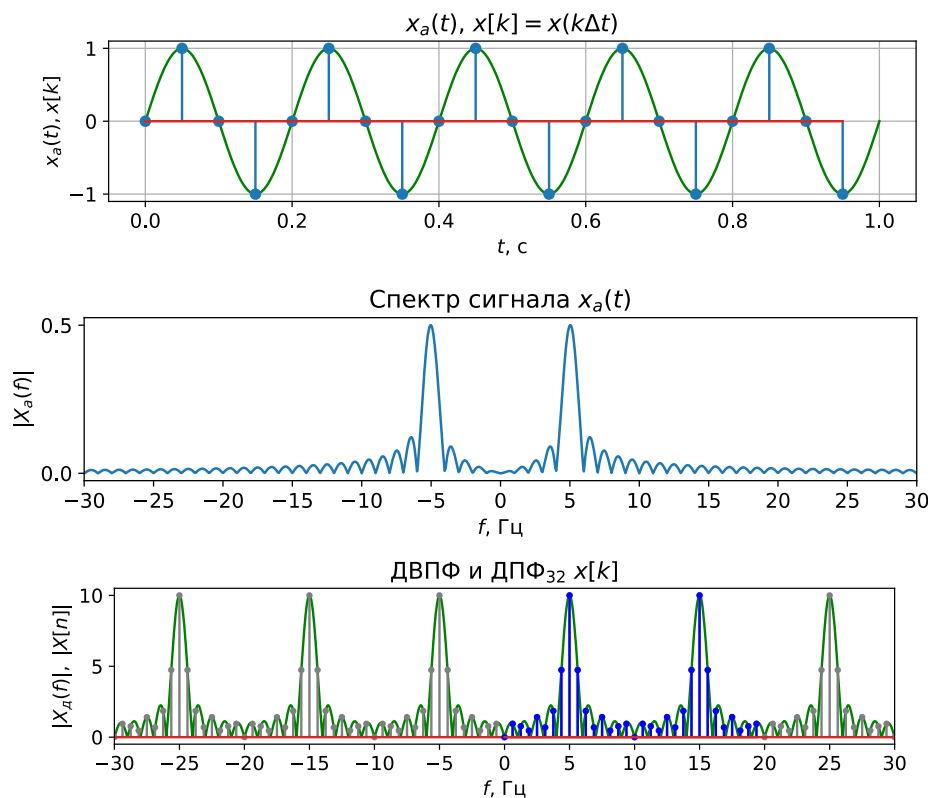
Спектр $X_d(f)$ дискретизованного сигнала связан со спектром $X_a(f)$ аналогового сигнала соотношением

$$X_d(f) = \frac{T}{\Delta t} \sum_{m=-\infty}^{\infty} X_a(f - mf_d).$$

где T определено соотношением $x[k] = Tx_a(k\Delta t)$.

Если бы эффекта наложения не было, то $X_d(f)$ и $X_a(f)$ совпадали бы на интервале $[-f_d/2, f_d/2]$, т.е. от -10 Гц до 10 Гц.

Заметим, что отсчеты ДПФ размерности $N = 32$ для $n = 0, 1, \dots, N-1$ находятся на полуинтервале $[0, f_d)$.



Отчету $n_1 = 8$ из первой половины периода соответствует частота $f_1 = \frac{n_1}{N} f_d = 5$ Гц, а отчету $n_2 = 20$ из второй половины периода $f_2 = \frac{n_2}{N} f_d - f_d = -7,5$ Гц

Дополнительные примеры решения задач

Пример 4.

Вещественный сигнал $x(t)$ с полосой $2f_{\text{в}} = 10$ кГц ($f_{\text{в}}$ – верхняя граничная частота) дискретизируется с минимально возможной частотой дискретизации в соответствии с теоремой отсчетов. В результате получается последовательность $x[k]$. Обозначим через $X[n]$ 1000-точечное ДПФ последовательности $x[k]$.

а) Каким частотам (в Гц) в ДВПФ последовательности $x[k]$ соответствуют отсчеты ДПФ с номерами $n_1 = 200$ и $n_2 = 900$?

б) Каким частотам (в Гц) в спектре исходного сигнала $x(t)$ соответствуют индексы $n_1 = 200$ и $n_2 = 900$ в последовательности $X[n]$?

Решение. Поскольку сигнал $x(t)$ дискретизован в соответствии с теоремой отсчетов, минимально возможная частота дискретизации $f_{\text{д}} = 2f_{\text{в}} = 10$ кГц.

а) Заметим, что из связи ДВПФ и ДПФ для последовательностей конечной длительности отсчету ДПФ с номером n_0 соответствует значение ДВПФ в точке $f_0 = \frac{n_0}{N} f_{\text{д}}$, при этом оно также равно (в силу периодичности ДВПФ) значениям в точках $f_0 + mf_{\text{д}}$, $m \in \mathbb{Z}$.

Тогда отсчетам n_1 и n_2 соответствуют частоты (можно также указать одну частоту при $m = 0$)

$$f_1 = \frac{n_1}{N} f_{\text{д}} + mf_{\text{д}} = 10(0,2 + m) \text{ кГц},$$

$$f_2 = \frac{n_2}{N} f_{\text{д}} + mf_{\text{д}} = 10(0,9 + m) \text{ кГц}.$$

б) Так как сигнал $x(t)$ дискретизован в соответствии с теоремой отсчетов, его спектр ограничен диапазоном $[-f_{\text{д}}/2; f_{\text{д}}/2]$. В этот диапазон из перечисленных выше попадают лишь значения $f_1 = 2$ кГц и $f_2 = -1$ кГц, которые соответствуют коэффициентам ДПФ с номерами n_1 и n_2 .

Дополнительные примеры решения задач

Пример 5.

Последовательность $x[k]$ из 1000 элементов получена в результате дискретизации непрерывного сигнала $x(t)$ с частотой $f_d = 20480$ Гц. Обозначим через $X[n]$ 1024-точечное ДПФ последовательности $x[k]$ (дополненной нулевыми отсчетами). Определить расстояние (в Гц) между непрерывными частотами, которые соответствуют соседним отсчетам ДПФ.

Решение. Число отсчетов дополненной последовательности и число коэффициентов ДПФ равно 1024. ДВПФ дополненной последовательности – периодическое повторение спектра исходного сигнала с периодом $f_d = 20480$ Гц. Этому периоду на частотной оси соответствуют 1024 коэффициента ДПФ $X[n]$, $n = 0, 1, 2, \dots, 1023$. Следовательно шаг сетки частот ДПФ в герцах составляет $\Delta f = \frac{20480}{1024} = 20$ Гц. Коэффициенту ДПФ $X[n]$ будет соответствовать отсчет ДВПФ с частотой $n\Delta f = 20n$ Гц.

Дополнительные примеры решения задач

Пример 6.

Вещественный сигнал $x(t)$ с полосой $2f_{\text{в}} = 10$ кГц ($f_{\text{в}}$ – верхняя граничная частота) дискретизируется с шагом Δt . В результате получается последовательность $x[k] = x(k\Delta t)$. Вычисляется N -точечное ДПФ, где $N = 2^m$, m – натуральное число. Определить минимальное значение m , при котором анализ возможен, а расстояние между отсчетами ДПФ по оси частот в герцах будет меньше 5 Гц. Для этого значения m определить допустимые пределы для частоты дискретизации $f_{\text{мин}} < f_{\text{д}} < f_{\text{макс}}$.

Решение.

Минимальная частота дискретизации должна гарантировать нам отсутствие наложения компонент размноженного спектра исходного сигнала:

$$f_{\text{дмин}} = 10 \text{ кГц.}$$

Вычисляется N -точечное ДПФ, где $N = 2^m$, m – натуральное число.

Расстояние между отсчетами ДПФ по оси частот в герцах должно быть меньше 5 Гц в том числе и для минимальной частоты дискретизации. Поэтому можем записать

$$\frac{f_{\text{дмин}}}{N} < 5 \text{ Гц.}$$

Отсюда должно быть $N > \frac{10000 \text{ Гц}}{5} = 2000$.

Ближайшее минимальное целое число m , для которого $2^m > 2000$ равно 11. При этом $N = 2^{11} = 2048$.

Дополнительные примеры решения задач

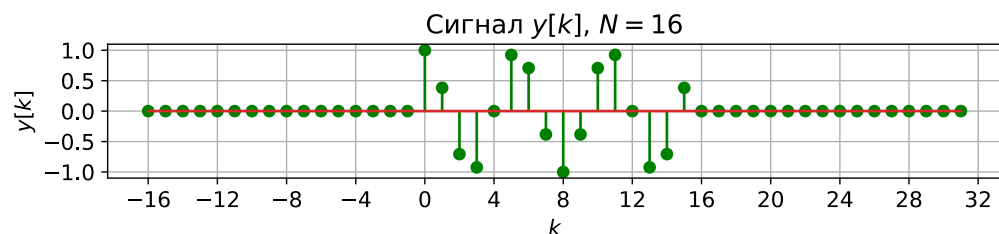
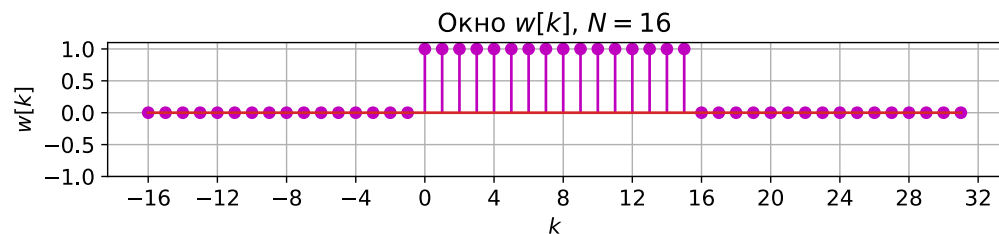
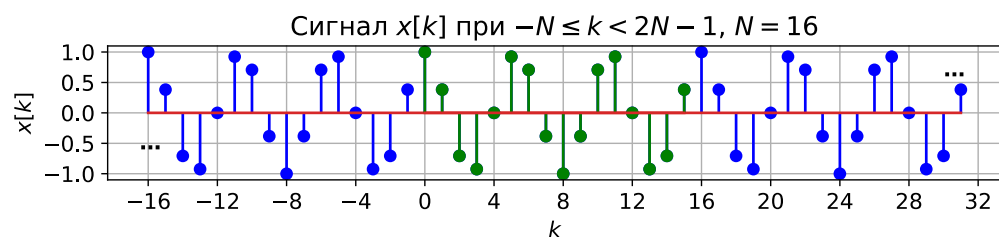
Пример 7.

Предположим, что нужно вычислить ДВПФ последовательности отсчетов $y[k] = x[k]w[k]$, где

$$x[k] = \cos(2\pi \frac{3}{16} k),$$

$w[k]$ — прямоугольное окно длиной $N = 16$ отсчетов:

$$w[k] = \sum_{m=0}^{15} \mathbf{1}[k - m].$$



Решение. Заметим, что

$$W(v) = e^{-j(N-1)\pi v} \frac{\sin(N\pi v)}{\sin(\pi v)},$$

$$X(v) = 0.5 \sum_{m=-\infty}^{\infty} \delta(v - \frac{3}{16} - m) + 0.5 \sum_{m=-\infty}^{\infty} \delta(v + \frac{3}{16} - m).$$

Способ 1. ДВПФ последовательности $Y(v)$ может быть представлено в виде циклической свертки

$$Y(v) = \int_{-1/2}^{1/2} X(\tilde{v})W(v - \tilde{v})d\tilde{v} = \int_{-1/2}^{1/2} W(\tilde{v})X(v - \tilde{v})d\tilde{v}$$

Используя фильтрующее свойство дельта-функции

$$\int_a^b W(v)\delta(v - v_1)dv = \begin{cases} W(v_1), & a < v_1 < b, \\ 0.5W(v_1), & (v_1 = a) \cup (v_1 = b), \\ 0, & (v_1 < a) \cup (v_1 > b), \end{cases}$$

получаем, что

$$Y(v) = 0.5W(v - \frac{3}{16}) + 0.5W(v + \frac{3}{16}).$$

Дополнительные примеры решения задач

Способ 2. Аналогично через теорему смещения

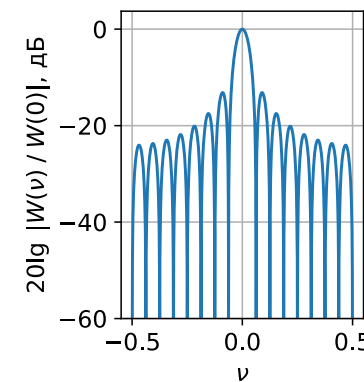
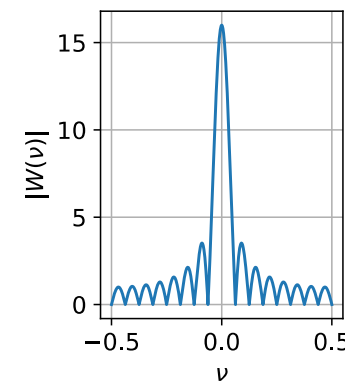
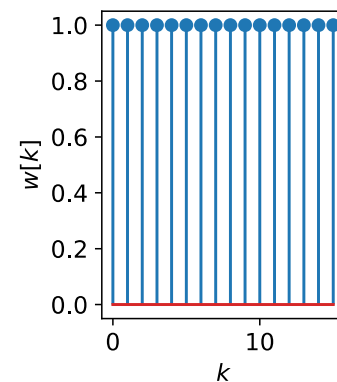
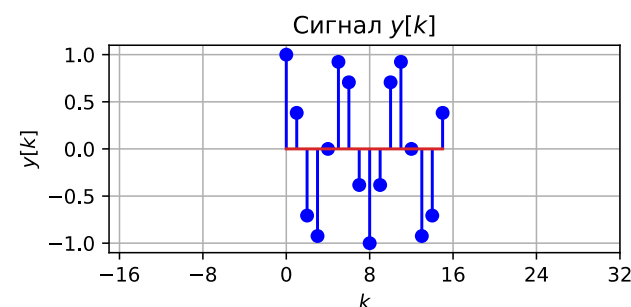
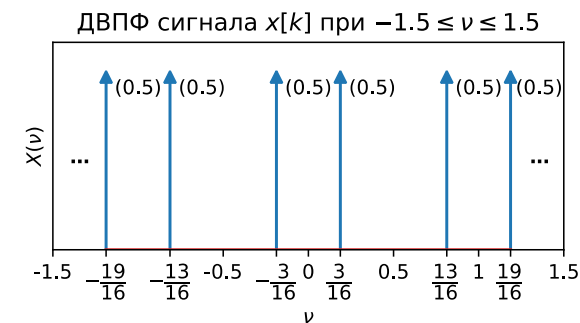
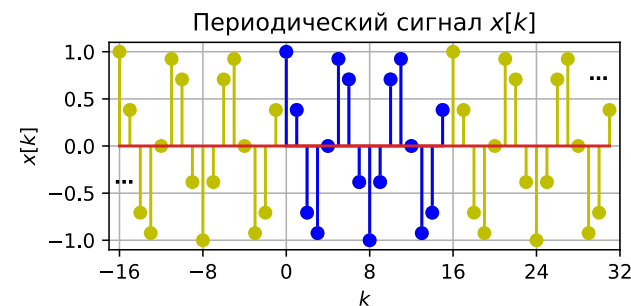
$$y[k] = \left(\frac{1}{2} \exp(j2\pi k \frac{3}{16}) + \frac{1}{2} \exp(-j2\pi k \frac{3}{16}) \right) w[k],$$

$$Y(v) = 0.5W(v - \frac{3}{16}) + 0.5W(v + \frac{3}{16}).$$

ДПВФ последовательности $y[k]$

$$Y(v) = \frac{1}{2} \exp\left(-j(N-1)\pi(v - \frac{3}{16})\right) \frac{\sin(N\pi(v - \frac{3}{16}))}{\sin(\pi(v - \frac{3}{16}))} +$$

$$+ \frac{1}{2} \exp\left(-j(N-1)\pi(v + \frac{3}{16})\right) \frac{\sin(N\pi(v + \frac{3}{16}))}{\sin(\pi(v + \frac{3}{16}))}.$$



Дополнительные примеры решения задач

Пример 8.

Используя теорему Коши о вычетах, определить импульсную характеристику $h[k]$ для физически реализуемого цифрового фильтра с передаточной функцией

$$H(z) = \frac{z^{-1}}{1 - z^{-1} + 0,25z^{-2}}.$$

Решение. Заметим, что

$$H(z) = \frac{z^{-1}}{1 - z^{-1} + 0,25z^{-2}} = \frac{z}{z^2 - z + 0,25} = \frac{z}{(z - 0,5)^2}.$$

По формуле обратного z -преобразования

$$h[k] = \frac{1}{j2\pi} \oint_C H(z) z^{k-1} dz,$$

где контур C охватывает все полюса подынтегральной функции

$$Y(z) = H(z) z^{k-1} = \frac{z^k}{(z - 0,5)^2}.$$

По теореме Коши о вычетах

$$h[k] = \frac{1}{j2\pi} \oint_C Y(z) dz = \sum_p \operatorname{Res}_{z_p} Y(z), \quad k \geq 0$$

где z_p – полюса функции $Y(z)$.

Для нахождения вычетов используются следующие формулы:

- в случае полюса первого порядка

$$\operatorname{Res}_{z_p} Y(z) = \lim_{z \rightarrow z_p} Y(z)(z - z_p);$$

- в случае полюса m -го порядка ($m > 1$)

$$\operatorname{Res}_{z_p} Y(z) = \frac{1}{(m-1)!} \lim_{z \rightarrow z_p} \frac{d^{m-1}}{dz^{m-1}} [Y(z)(z - z_p)^m].$$

В нашем случае $Y(z)$ имеет один двукратный полюс в точке $z_p = 0,5$.

$$h[k] = \lim_{z \rightarrow 0,5} \frac{d}{dz} Y(z)(z - 0,5)^2 = \lim_{z \rightarrow 0,5} \frac{d}{dz} z^k = k(0,5)^{k-1}, \quad k \geq 0.$$

Получаем, что $h[k] = k(0,5)^{k-1} u[k]$.

Дополнительные примеры решения задач

Пример 9. Пример биквадратного блока.

Рассмотрим фильтр с передаточной функцией

$$H(z) = \frac{1 + 0,2z^{-1} - 0,35z^{-2}}{1 - 0,5z^{-1} + 0,06z^{-2}}$$

с начальными условиями $y[-1] = y[-2] = 0$.

1) Нули и полюса передаточной функции.

$$\begin{aligned} H(z) &= \frac{1 + 0,2z^{-1} - 0,35z^{-2}}{1 - 0,5z^{-1} + 0,06z^{-2}} = \frac{(1 - 0,5z^{-1})(1 + 0,7z^{-1})}{(1 - 0,3z^{-1})(1 - 0,2z^{-1})} = \\ &= \frac{(z - 0,5)(z + 0,7)}{(z - 0,3)(z - 0,2)} \end{aligned}$$

$$z_{n1} = 0,5, \quad z_{n2} = -0,7, \quad z_{p1} = 0,3, \quad z_{p2} = 0,2$$

Все полюса внутри единичного круга, значит фильтр устойчив.

2) Разностное уравнение для реализации фильтра в прямой форме.

$$H(z) = \frac{Y(z)}{X(z)} = \frac{1 + 0,2z^{-1} - 0,35z^{-2}}{1 - 0,5z^{-1} + 0,06z^{-2}}$$

$$Y(z)(1 - 0,5z^{-1} + 0,06z^{-2}) = X(z)(1 + 0,2z^{-1} - 0,35z^{-2})$$

По теореме запаздывания для z -преобразования для целого числа $m > 0$

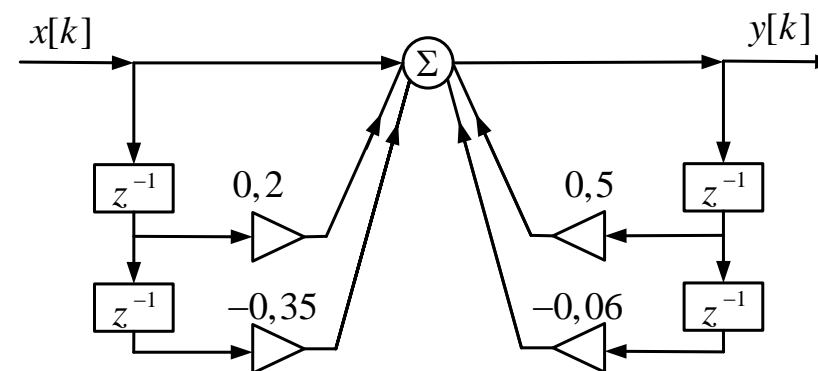
$$x[k - m] \xleftrightarrow{z} X(z)z^{-m}.$$

Тогда разностное уравнение имеет вид

$$y[k] - 0,5y[k - 1] + 0,06y[k - 2] = x[k] + 0,2x[k - 1] - 0,35x[k - 2]$$

$$y[k] = x[k] + 0,2x[k - 1] - 0,35x[k - 2] + 0,5y[k - 1] - 0,06y[k - 2]$$

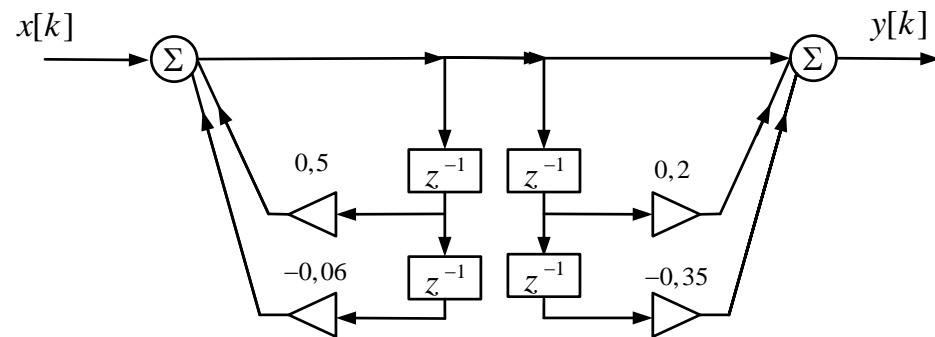
3) Блок схема для реализации фильтра в прямой форме.



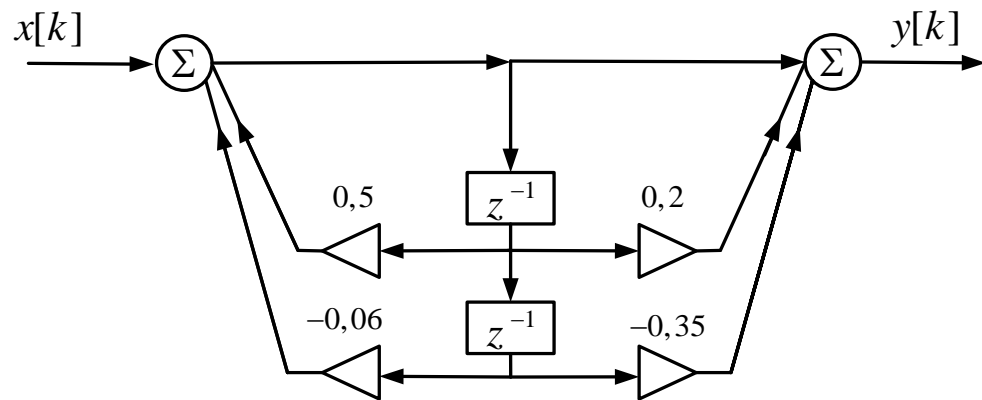
Дополнительные примеры решения задач

4) Блок-схема реализации в прямой канонической форме.

Переставим рекурсивную и нерекурсивную часть местами.



Объединим две линии задержки в одну



5) Импульсная характеристика.

Определим импульсную характеристику, воспользовавшись методом, основанном на контурном интегрировании с применением теоремы Коши о вычетах.

$$h[k] = \frac{1}{j2\pi_c} \oint H(z) z^{k-1} dz.$$

$$h[k] = \frac{1}{j2\pi_c} \oint \frac{(z-0,5)(z+0,7)}{(z-0,3)(z-0,2)} z^{k-1} dz.$$

При $k=0$ у подынтегрального выражения три полюса: $z_{p1}=0,3$, $z_{p2}=0,2$, $z_{p3}=0$, а при $k \geq 1$ — два: $z_{p1}=0,3$, $z_{p2}=0,2$.

Значение импульсной характеристики в точке $k=0$ можно найти из разностного уравнения системы

$$y[k] = x[k] + 0,2x[k-1] - 0,35x[k-2] + 0,5y[k-1] - 0,06y[k-2]$$

$$h[k] = \mathbf{1}[k] + 0,2 \cdot \mathbf{1}[k-1] - 0,35 \cdot \mathbf{1}[k-2] + 0,5h[k-1] - 0,06h[k-2]$$

$$h[0] = 1$$

При $k \geq 1$ для интегрирования по контуру воспользуемся теоремой Коши о вычетах.

Дополнительные примеры решения задач

$$\begin{aligned}h[k] &= \frac{1}{j2\pi} \oint_c \frac{(z-0,5)(z+0,7)}{(z-0,3)(z-0,2)} z^{k-1} dz = \\&= \operatorname{Res}_{z=0,3} \frac{(z-0,5)(z+0,7)}{(z-0,3)(z-0,2)} z^{k-1} + \operatorname{Res}_{z=0,2} \frac{(z-0,5)(z+0,7)}{(z-0,3)(z-0,2)} z^{k-1} = \\&= \left. \frac{(z-0,5)(z+0,7)}{(z-0,2)} z^{k-1} \right|_{z=0,3} + \left. \frac{(z-0,5)(z+0,7)}{(z-0,3)} z^{k-1} \right|_{z=0,2} = \\&= -2(0,3)^{k-1} + 2,7(0,2)^{k-1} = -\frac{20}{3}(0,3)^k + \frac{27}{2}(0,2)^k, k \geq 1.\end{aligned}$$

Объединим результаты в одну формулу

$$h[k] = \left(-\frac{20}{3}(0,3)^k + \frac{27}{2}(0,2)^k - \frac{35}{6}\mathbf{1}[k] \right) u[k].$$

6) Частотная характеристика.

Найдем частотную характеристику, взяв ДВПФ от импульсной характеристики.

$$H(\theta) = -\frac{20}{3} \frac{1}{1-0,3\exp(-j\theta)} + \frac{27}{2} \frac{1}{1-0,2\exp(-j\theta)} - \frac{35}{6}$$

Тот же результат можно получить подстановкой $z^{-1} = \exp(-j\theta)$ в передаточную функцию системы

$$H(z) = \frac{(1-0,5z^{-1})(1+0,7z^{-1})}{(1-0,3z^{-1})(1-0,2z^{-1})}.$$